

doi: 10.13241/j.cnki.pmb.2017.04.040

## EpCAM, Vimentin 和 N-Cadherin 在三阴型乳腺癌中的表达和预后意义 \*

李新军<sup>1</sup> 马风妹<sup>2</sup> 付丽梅<sup>1</sup> 付明霞<sup>1</sup> 吴戈<sup>1</sup>

(1 山东省滨州市人民医院病理科 山东 滨州 256601; 2 山东省滨州市人民医院感染科 山东 滨州 256601)

**摘要 目的:** 探讨 EpCAM、Vimentin 和 N-Cadherin 在三阴型乳腺癌(TNBC)中表达的临床病理及预后意义。方法: 采用免疫组化 MaxVisionTM 法检测 161 例 TNBC 中 EpCAM、Vimentin 和 N-Cadherin 表达, 分析其与临床病理特征和预后的关系。结果: EpCAM、Vimentin 及 N-Cadherin 在 161 例 TNBC 中的表达率分别为 62.1%、20.5%、17.4%。EpCAM 表达与 Vimentin、N-Cadherin 均具有正相关性。EpCAM 和 Vimentin 蛋白阳性率均随着肿瘤体积增大、淋巴结阳性、TNM 分期增高而增高(均为  $P < 0.05$ ); N-Cadherin 表达率随着 TNM 分期增高而增高( $P = 0.000$ )。Log-rank 检验和单因素分析显示, EpCAM、Vimentin 和 N-Cadherin 阳性的患者预后较差(均为  $P < 0.001$ )。多因素 COX 分析显示, 当仅经临床分期、肿瘤大小和淋巴结转移校正时, EpCAM 是独立的预后因子( $P = 0.026$ ), 但纳入 Vimentin 和 N-Cadherin 后, EpCAM 则不是独立的预后因子( $P > 0.05$ )。结论: EpCAM 在 TNBC 中与其临床病理特征和预后相关, 并与 EMT 关系密切, EpCAM 与 EMT 可能参与 TNBC 的发生发展过程。

**关键词:** 乳腺肿瘤; 上皮细胞黏附分子; 上皮 - 间质转化; 免疫组织化学

中图分类号: R-737.9 文献标识码: A 文章编号: 1673-6273(2017)04-753-04

## Expression and Prognostic Significance of EpCAM, Vimentin and N-Cadherin in Triple-negative Breast Cancer\*

LI Xin-jun<sup>1</sup>, MA Feng-mei<sup>2</sup>, FU Li-mei<sup>1</sup>, FU Ming-xia<sup>1</sup>, WU Ge<sup>1</sup>

(1 Department of Pathology, Binzhou People's Hospital, Binzhou, Shandong, 256601, China;

2 Department of Infection, Binzhou People's Hospital, Binzhou, Shandong, 256601, China)

**ABSTRACT Objective:** To investigate the clinicopathological and prognostic significance of EpCAM, Vimentin and N-Cadherin expression in triple-negative breast cancer (TNBC). **Methods:** The expressions of EpCAM, Vimentin and N-Cadherin in 161 cases of TNBC were detected by immunohistochemical MaxVisionTM method, and the relationship between their expressions and the clinical pathological features and prognosis were analyzed. **Results:** The expression rates of EpCAM, Vimentin and N-Cadherin in 161 cases of TNBC were 62.1%, 20.5% and 17.4%, respectively. The expression of Vimentin was positively correlated with N-Cadherin and EpCAM. The positive rates of EpCAM and Vimentin increased with tumor size, lymph node positive and TNM stage ( $P < 0.05$ ), and N-Cadherin expression increased with TNM stage ( $P = 0.000$ ). Log-rank test and univariate analysis showed that the expressions of EpCAM, Vimentin and N-Cadherin were associated with a significantly worse overall survival ( $P < 0.001$ ). In multivariate COX analysis, after adjusting for TNM stage, tumor size and lymph node metastasis, EpCAM was an independent prognostic factor ( $P = 0.026$ ), but it had no independent prognostic significance after adjusting for Vimentin and N-Cadherin further. **Conclusions:** EpCAM is associated with clinical-pathological features and prognosis in TNBC, and is closely related to EMT, EMT and EpCAM may be involved in the development of TNBC.

**Key words:** Breast neoplasms; Epithelial cell adhesion molecule; Epithelial-mesenchymal transition; Immunohistochemistry

**Chinese Library Classification(CLC):** R-737.9 **Document code:** A

**Article ID:** 1673-6273(2017)04-753-04

### 前言

乳腺癌是女性常见的恶性上皮性肿瘤, 具有较强的异质性, 可以根据 ER、PR 和 HER2 的免疫组化结果进行分子分型<sup>[1]</sup>。三阴型乳腺癌(triple-negative breast cancer, TNBC), 即 ER、PR 和 HER2 均阴性的乳腺癌, 侵袭性强, 而且缺乏临床有效的治疗靶点, 预后不良<sup>[2]</sup>, 对其发生发展机制研究是近年来的热点。上皮黏附分子(epithelial cell adhesion molecule, EpCAM)

是一种跨膜蛋白, 表达于人类多种上皮性癌中, 包括乳腺癌<sup>[3]</sup>。EpCAM 在乳腺癌中呈高表达, 过表达与患者预后差相关, 但它在乳腺癌中的具体作用机制尚不清楚。有研究发现 EpCAM 可在体外乳腺癌细胞株中促进上皮 - 间质转化(epithelial-mesenchymal transition, EMT), 后者目前认为是一种重要的肿瘤浸润、转移机制<sup>[4]</sup>。但 EpCAM 和 EMT 在人类乳腺癌, 尤其是 TNBC 组织中的关系尚罕见文献报道。本研究通过免疫组织化学法检测 TNBC 中 EpCAM 与 EMT 标志物 Vimentin、N-Cad-

\* 基金项目: 山东省科技发展计划政策引导类项目(2013YD18032)

作者简介: 李新军(1980-), 博士, 主治医师, 主要研究方向: 肿瘤病理学, 电话: 13626499261, E-mail:lixinjunhe@163.com

(收稿日期: 2015-10-30 接受日期: 2015-11-16)

herin 的表达,探讨 EpCAM 在 TNBC 中与 EMT 的关系及预后意义。

## 1 材料与方法

### 1.1 临床资料

收集 2000 年 1 月~2009 年 12 月滨州市人民医院病理科诊断的乳腺浸润性导管癌(非特殊型)病例 835 例。所有病例均由高年资病理医师复核切片,制作组织芯片并免疫组化染色。根据免疫组化结果及 2013 年 St Gallen 国际乳腺癌大会乳腺癌分子分型标准分型<sup>[5]</sup>,筛选出 TNBC 161 例,纳入为本文研究对象。患者年龄 37~77(51.60±8.70)岁,已绝经患者 93 例。161 例患者术前未进行任何放疗、化疗或内分泌治疗。获得随访数据 141 例,中位随访时间 71 个月(25~179 个月)。

### 1.2 试剂

EpCAM(鼠单抗,克隆号 VU-1D9)、Vimentin(兔单抗,克隆号 SP20)、N-Cadherin(鼠单抗,克隆号 D-4)、ER(兔单抗,克隆号 SP1)、PR(兔单抗,克隆号 SP2)、HER-2(鼠单抗,克隆号 CB11)抗体、Ki-67(鼠单抗,克隆号 MIB-1)及 MaxVisionTM 二步法免疫组织化学染色试剂盒均购自福州迈新生物技术开发公司。

### 1.3 方法

**1.3.1 免疫组织化学染色方法** 采用 MaxVisionTM 二步法进行免疫组织化学染色,具体步骤:石蜡切片脱蜡到水,PBS 洗后对组织进行抗原热修复(修复液 PH6.0 柠檬酸盐),3% H<sub>2</sub>O<sub>2</sub> 封闭内源性过氧化物酶,PBS 洗后滴加第一抗体,室温下孵育 60 min,PBS 冲洗后滴加即用型 MaxVisionTM 试剂,室温下孵育 15 min。PBS 冲洗后滴加新鲜配制的 DAB 溶液,自来水冲洗,苏木素复染,脱水、透明、中性树胶封固。以 PBS 替代一抗作为阴性对照。

**1.3.2 免疫组织化学染色结果判断** ER、PR 阳性定位于细胞核,ER 和 PR 的结果判读标准采用 2010 年美国临床肿瘤学会(ASCO)和美国病理学家协会(CAP)指南的判读标准。HER-2 阳性定位于细胞膜,HER-2 的结果判读标准采用 2013 年美国临床肿瘤学会(ASCO)和美国病理学家协会(CAP)指南的判读标准。EpCAM、N-Cadherin 阳性定位于细胞膜/细胞质,Vimentin 阳性定位于细胞质。EpCAM 按文献方法计分<sup>[6]</sup>,计数组织中阳性肿瘤细胞的百分数(0~100)和相应阳性强度(0~3),取其乘积的和为 H-score (0~300)。EpCAM 染色的 H-score≥100 分为阳性,<100 分为阴性。由两位病理医师采用双盲法进行结果评价。对两位病理医师评价结果不一致的病例,取其评价结果的平均值。Vimentin 和 N-Cadherin 按文献中方法进行评价<sup>[7]</sup>,计数肿瘤组织中阳性细胞的百分数,阳性细胞比例≥10% 为阳性,<10% 为阴性。

### 1.4 统计学分析

采用 SPSS20.0 统计学软件分析数据,计数资料比较采用 X<sup>2</sup> 检验。通过 Spearman 相关分析评价 EpCAM 表达与 Vimentin、N-Cadherin 的相关性。通过 Kaplan-Meier 曲线、log-rank 检验和 Cox 回归模型分析评估 EpCAM、Vimentin、N-Cadherin 表达与乳腺癌患者预后的相关性。检验水准为 α=0.05,P<0.05 为差异具有统计学意义。

## 2 结果

### 2.1 EpCAM、Vimentin 及 N-Cadherin 表达与 TNBC 临床病理特征的关系(表 1)

EpCAM、Vimentin 及 N-Cadherin 在 161 例 TNBC 中的表达率分别为 62.1%(100/161)、20.5%(33/161)、17.4%(28/161),图 1。EpCAM、Vimentin 及 N-Cadherin 的表达均与绝经状态无关(均为 P>0.05,表 1)。EpCAM 蛋白阳性率随着肿瘤体积增大、淋巴结阳性、组织学级别增高、TNM 分期增高而增高(均为 P<0.05,表 1);Vimentin 蛋白阳性率随着肿瘤体积增大、淋巴结阳性、TNM 分期增高而增高(均为 P<0.05,表 1),并有随着组织学级别增高而增高的趋势(X<sup>2</sup>=2.776,P=0.096);N-Cadherin 表达率随着 TNM 分期增高而增高(X<sup>2</sup>=17.919,P=0.000),并有淋巴结阳性(X<sup>2</sup>=2.889,P=0.089)而增高的趋势,但与肿瘤大小(X<sup>2</sup>=2.294,P=0.130)和组织学分级无关(X<sup>2</sup>=0.007,P=0.931)。

### 2.2 EpCAM 表达与 Vimentin、N-Cadherin 的相关性

161 例 TNBC 中,Spearman 相关分析显示,EpCAM 和 Vimentin 表达呈显著正相关(r=0.270,P=0.001);EpCAM 和 N-Cadherin 的表达呈显著正相关(r=0.156,P=0.049)。

### 2.3 EpCAM、Vimentin 和 N-Cadherin 表达对 TNBC 预后的影响

Log-rank 检验分析显示,EpCAM 表达与 TNBC 患者预后有关,阳性患者的预后较阴性患者差(X<sup>2</sup>=14.174,P=0.000),图 2;Vimentin (X<sup>2</sup>=77.861,P=0.000) 和 N-Cadherin (X<sup>2</sup>=55.855,P=0.000) 阳性表达的患者预后也均较阴性患者差。单因素 COX 分析显示(表 2),具有提示 TNBC 患者预后不良的指标有肿瘤大小>5 cm、淋巴结转移、EpCAM 阳性、Vimentin 阳性、N-Cadherin 阳性和高 TNM 分期。纳入临床分期、肿瘤大小、淋巴结转移、EpCAM、Vimentin 和 N-Cadherin 表达情况进行多因素 COX 分析,结果显示只有 TNM 分期(HR=5.975,P=0.013)是独立的预后因子,其他指标均不是独立的预后因子(均为 P>0.05,表 2)。当仅经临床分期、肿瘤大小和淋巴结转移校正时,EpCAM 则是独立的预后因子(HR=2.861,95% CI:1.134~7.217,P=0.026)。

## 3 讨论

在乳腺癌的 5 种分子亚型中,TNBC 最受临床肿瘤学家和病理学家关注。与其他乳腺癌分子亚型比较,TNBC 具有更高的侵袭性,而且缺乏 ER、PR 和 HER2 等常见的靶向治疗药物靶点,使其患者临床预后不良<sup>[2]</sup>。虽然肿瘤转移的机制尚未完全揭示,但近年来 EMT 在肿瘤转移中的作用越来越受到人们重视。EMT 表现为细胞上皮特征丢失,并同时获得间叶组织特征。它在胚胎发育、组织再生、炎症、伤口愈合、纤维化和肿瘤发生中起到重要作用<sup>[8]</sup>。发生 EMT 的细胞表现为细胞钙黏附蛋白水平变化,如 E-Cadherin 表达水平下降和 N-Cadherin 表达增强,同时间叶骨架蛋白如 Vimentin 的表达水平上升。本研究即通过检测 Vimentin 和 N-Cadherin 的表达水平来观察 EMT 的发生。

EMT 在乳腺癌的发生发展中可能发挥作用的证据大多来

表 1 EpCAM、Vimentin 及 N-Cadherin 表达与三阴性乳腺癌临床病理特征的关系

Table 1 Relation between the expression of EpCAM, Vimentin, N-Cadherin protein and the clinicopathological features of breast invasive ductal carcinoma

Clinicopathological features	N	EpCAM+		Vimentin+		N-Cadherin+	
		n(%)	P	n(%)	P	n(%)	P
<b>Menopausal state</b>							
Premenopausal	68	46(67.6)	0.216	13(19.1)	0.711	12(17.6)	0.942
Postmenopausal	93	54(58.1)		20(21.5)		16(17.2)	
<b>Tumor size</b>							
≤ 5 cm	149	89(59.7)	0.028	26(17.4)	0.001	24(16.1)	0.130
>5 cm	12	11(91.7)		7(58.3)		4(33.3)	
<b>Lymph node metastasis</b>							
Positive	81	67(83.8)	0.000	25(31.2)	0.001	18(22.5)	0.089
Negative	80	33(40.7)		8(9.9)		10(12.3)	
<b>Histological grade</b>							
II	18	5(27.8)	0.001	1(5.6)	0.096	3(16.7)	0.931
III	143	95(66.4)		32(22.4)		25(17.5)	
<b>TNM stage</b>							
I ~ II	124	67(54.0)	0.000	12(9.7)	0.000	13(10.6)	0.000
III~IV	37	33(89.2)		21(56.8)		15(40.5)	

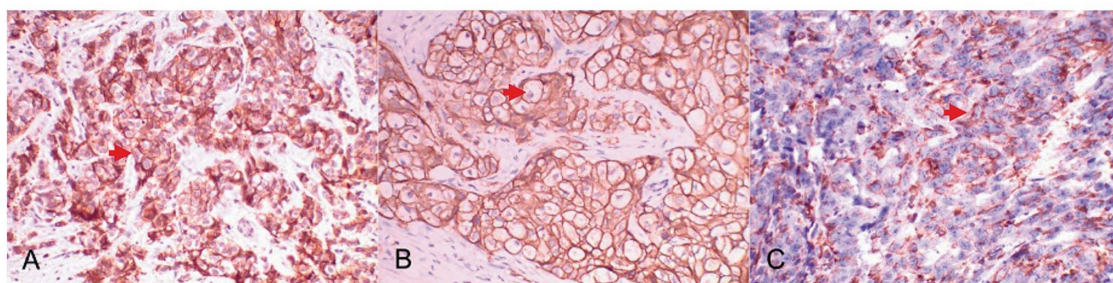


图 1 EpCAM、N-Cadherin 和 Vimentin 在乳腺浸润性导管癌(III~IV期)中的表达(免疫组织化学,DAB 显色, × 200)

Fig.1 Expression of EpCAM, N-Cadherin and Vimentin protein in infiltrating ductal carcinoma of breast(TNM stage III~IV)(Immunohistochemistry, DAB staining, × 200) Note: A: The positive membrane staining of EpCAM; B: The positive membrane staining of N-Cadherin; C: The positive plasma staining of Vimentin; Arrow: the positive cell.

源于体外细胞培养实验结果<sup>[4]</sup>。在临床标本中是否存在 EMT 尚存在争议。Jeong H 等<sup>[9]</sup>研究了 492 例乳腺癌中 EMT 标志物的表达情况,发现 EMT 的分子标志物 Vimentin、N-Cadherin、SMA 等在 8%~10% 的乳腺癌存在阳性表达,并且与 ER、PR、HER2、组织学分级和基底样表型相关,但同时他们发现与淋巴结转移和肿瘤大小无关。与上述结果不同的是,本文发现在 TNBC 中 Vimentin 和 N-Cadherin 的表达水平均随着临床分期的增高而增高,Vimentin 还与淋巴结转移相关,提示 EMT 在 TNBC 的侵袭性生物学行为中具有重要地位。

EpCAM 常常在乳腺癌、卵巢癌、前列腺癌、胃癌等很多上皮性肿瘤中过表达<sup>[10]</sup>。本文显示 EpCAM 在 TNBC 中表达率高达 62.1%。文献报道的乳腺癌中 EpCAM 表达情况与本文相近。Abd EN 等<sup>[11]</sup>检测了 126 例乳腺癌中 EpCAM 的表达,发现在 TNBC 中为 88.9%。Soysal 等<sup>[6]</sup>报道 1365 例乳腺癌中 Ep-

CAM 的过表达率为 48%,其中 136 例 TNBC 中 EpCAM 的过表达率为 63.8%。EpCAM 与 TNBC 临床病理特征的关系尚见文献报道。本研究发现 EpCAM 的阳性表达与肿瘤体积增大、淋巴结阳性、组织学级别增高、TNM 分期有关。李金梅等<sup>[12]</sup>报道 EpCAM 蛋白过表达与 TNBC 的组织学分级、淋巴结转移呈正相关。体外乳腺癌细胞株实验显示,EpCAM 可增强乳腺癌细胞株增殖活性和侵袭能力<sup>[13]</sup>,但作用机制尚不清楚。本研究发现在 TNBC 中,EpCAM 表达与 Vimentin 和 N-Cadherin 的表达呈正相关。有体外乳腺细胞株研究显示,EpCAM 参与了 TGF-β1 介导的 EMT,当 EpCAM 过表达时,可增强 TGF-β1 介导的 EMT,敲除 EpCAM 可抑制 EMT<sup>[14]</sup>。

EpCAM 在 TNBC 中的预后价值尚少见文献报道。Soysal 等<sup>[6]</sup>研究发现 EpCAM 的表达与 TNBC 的预后差相关。本研究也发现 EpCAM 的阳性表达的 TNBC 患者预后较差。EMT 是

表 2 影响乳腺癌整体生存率的单因素和多因素 COX 分析

Table 2 Predictors for Overall Survival in Univariate and Multivariate COX Analyses for Breast Cancer Patients

	Univariate analysis HR(95%CI)	P	Multivariate analysis HR(95%CI)	P
Menopausal premenopausal	1.000			
postmenopausal	1.184(0.624-2.246)	0.606		
Tumor size ≤ 5 cm	1.000		1.000	
>5 cm	9.957(4.711-21.046)	0.000	2.236(0.997-5.016)	0.051
Lymph node negative	1.000		1.000	
positive	3.193(1.560-6.535)	0.001	0.376(0.099-1.431)	0.151
Histological grade II	1.000			
III	1.309(0.465-3.683)	0.610		
EpCAM negative	1.000		1.000	
positive	4.213(1.861-9.542)	0.001	2.191(0.847-5.665)	0.106
Vimentin negative	1.000		1.000	
positive	11.477(5.852-22.509)	0.000	2.204(0.764-6.360)	0.144
N-Cadherin negative	1.000		1.000	
positive	8.095(4.224-15.513)	0.000	1.756(0.759-4.064)	0.188
TNM stage I ~ II	1.000		1.000	
III~IV	11.608(5.914-22.787)	0.000	5.975(1.468-24.325)	0.013

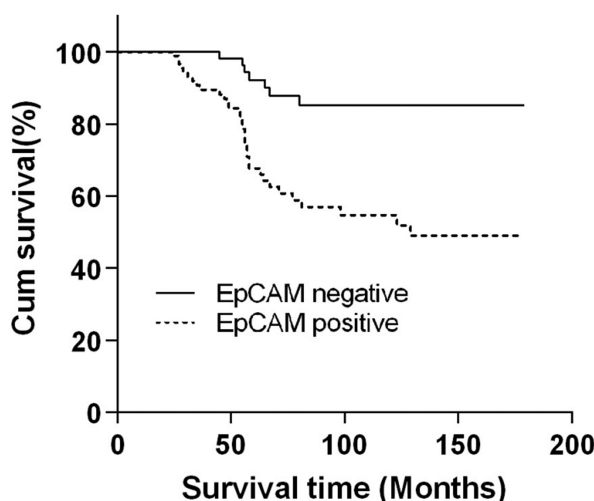


图 2 EpCAM 表达与乳腺浸润性导管癌预后的 Kaplan-Meier 生存曲线

Fig.2 Kaplan-Meier survival curve for overall survival depending on EpCAM expression of infiltrating ductal carcinoma of breast

肿瘤浸润、转移的重要机制,理论上伴有 EMT 的肿瘤更容易发生侵袭性生长,预后不良。本研究显示表达 EMT 标志物的患者预后较差,但多因素分析显示 Vimentin 和 N-Cadherin 均不是独立的预后因子,只有肿瘤 TNM 分期是独立预后因子,提示 EMT 可能是 TNBC 发生发展中的一过性过程或阶段,仅在肿瘤浸润、转移过程中发挥非持续性的作用。值得注意的是,EpCAM 的预后作用受到 EMT 的影响,不考虑 EMT 时,EpCAM 是独立的预后因子,纳入 EMT 时,则丧失其独立预后价值,这也提示二者在 TNBC 中存在密切关系。

综上,本研究发现 EpCAM 在 TNBC 中具有较高的表达

率,并与其临床病理特征和预后相关,而且与 EMT 关系密切,EpCAM 与 EMT 可能参与 TNBC 发展过程。目前针对 EpCAM-CD3 的双特异抗体 catumaxoma 已在伴有恶性胸腔积液的乳腺癌患者中观察到了治疗反应<sup>[15]</sup>,其在 TNBC 中的应用同样值得期待,即 EpCAM 很可能成为 TNBC 的一个重要的治疗靶点,值得我们进行进一步深入的研究。

#### 参 考 文 献(References)

- [1] Goldhirsch A, Winer E P, Coates A S, et al. Personalizing the treatment of women with early breast cancer: highlights of the St Gallen International Expert Consensus on the Primary Therapy of Early Breast Cancer 2013[J]. Ann Oncol, 2013, 24(9): 2206-2223
- [2] Yuan N, Meng M, Liu C, et al. Clinical characteristics and prognostic analysis of triple-negative breast cancer patients [J]. Mol Clin Oncol, 2014, 2(2): 245-251
- [3] Schnell U, Cirulli V, Giepmans B N. EpCAM: structure and function in health and disease [J]. Biochim Biophys Acta, 2013, 1828 (8): 1989-2001
- [4] Tomaskovic-Crook E, Thompson E W, Thiery J P. Epithelial to mesenchymal transition and breast cancer [J]. Breast Cancer Res, 2009, 11(6): 213
- [5] Goldhirsch A, Winer EP, Coates AS, et al. Personalizing the treatment of women with early breast cancer: highlights of the St Gallen International Expert Consensus on the Primary Therapy of Early Breast Cancer 2013[J]. Annals of Oncology, 2013, 24(9): 2206-2223
- [6] Soysal S D, Muenst S, Barbie T, et al. EpCAM expression varies significantly and is differentially associated with prognosis in the luminal B HER2(+), basal-like, and HER2 intrinsic subtypes of breast cancer[J]. Br J Cancer, 2013, 108(7): 1480-1487 (下转第 760 页)

- Modern Preventive Medicine, 2013, 40(16): 3056-3058
- [7] 胡学昱, 杨智伟, 黄培培, 等. "PBL, SP, SBME" 教学模式在八年制脊柱外科中的应用与思考 [J]. 现代生物医学进展, 2016, 16(21): 4153-4155
- Hu Xue-yu, Yang Zhi-wei, Huang Pei-pei, et al. Application and Thinking about Teaching Model of PBL, SP and SBME in Eight-year Spinal Surgery [J]. Progress in Modern Biomedicine, 2016, 16(21): 4153-4155
- [8] Zahid MA, Varghese R, Mohammed AM, et al. Comparison of the problem based learning-driven with the traditional didactic-lecture-based curricula [J]. International Journal of Medical Education, 2016, 7: 181-187
- [9] 王正国. 新军事变革条件下战伤救治研究进展 [J]. 人民军医, 2006, 49(8): 437-439
- Wang Zheng-guo. The research progress of wound treatment under the circumstance of new military reform [J]. People's Military Surgeon, 2006, 49(8): 437-439
- [10] 高京生, 程天民. 军校临床医学专业预防医学教学内容改革意见 [J]. 解放军预防医学杂志, 2000, 18(3): 157-159
- Gao Jing-sheng, Cheng Tian-min. The reform suggestion of preventive medical teaching for clinical medicine in military school [J]. Journal of Preventive Medicine of Chinese People's Liberation Army, 2000, 18(3): 157-159
- [11] 杨学森, 吴强, 朱才众, 等. 新形势下军事预防医学研究生教育的思考与探索 [J]. 基础医学教育, 2013, 15(6): 634-636
- Yang Xue-sen, Wu Qiang, Zhu Cai-zhong, et al. The reflect and exploration on the graduate education of military preventive medicine under the new situation [J]. Basic Medical Education, 2013, 15(6): 634-636
- [12] Kantar LD, Massouh A. Case-based learning: What traditional curricula fail to teach [J]. Nurse Education Today, 2015, 35(8): e8-14
- [13] Leon JS, Winskell K, McFarland DA, et al. A case-based, problem-based learning approach to prepare master of public health candidates for the complexities of global health [J]. American Journal of Public Health, 2015, 105(Suppl 1): S92-96
- [14] Faisal R, Khalil-ul-Rehman, Bahadur S, et al. Problem-based learning in comparison with lecture-based learning among medical students [J]. Journal of Pakistan Medical Association, 2016, 66(6): 650-653
- [15] 刘寒强, 秦绪军, 张磊, 等. 军校五年制学员营养学 PBL 教学模式的构建及效果评价 [J]. 现代生物医学进展, 2015, 15(24): 4767-4770
- Liu Han-qiang, Qin Xu-jun, Zhang Lei, et al. Construction and assessment of problem-based learning teaching mode in nutriology course for five-year program military students [J]. Progress in Modern Biomedicine, 2015, 15(24): 4767-4770
- [16] 肖进莲, 王映月, 邹亮, 等. 医学生临床见习现状调查及解决途径探讨 [J]. 教育教学论坛, 2016, 16(18): 6-8
- Xiao Jin-lian, Wang Ying-yue, Zou Liang et al. Investigation and solution on medical students' clinical practice [J]. Education Teaching Forum, 2016, 16(18): 6-8

(上接第 756 页)

- [7] Choi Y, Lee H J, Jang M H, et al. Epithelial-mesenchymal transition increases during the progression of in situ to invasive basal-like breast cancer [J]. Hum Pathol, 2013, 44(11): 2581-2589
- [8] Iwatsuki M, Mimori K, Yokobori T, et al. Epithelial-mesenchymal transition in cancer development and its clinical significance [J]. Cancer Sci, 2010, 101(2): 293-299
- [9] Jeong H, Ryu Y J, An J, et al. Epithelial-mesenchymal transition in breast cancer correlates with high histological grade and triple-negative phenotype [J]. Histopathology, 2012, 60(6B): E87-E95
- [10] Patriarca C, Macchi R M, Marschner A K, et al. Epithelial cell adhesion molecule expression (CD326) in cancer: a short review [J]. Cancer Treat Rev, 2012, 38(1): 68-75
- [11] Abd E N, Abd E D. Clinicopathologic implications of EpCAM and Sox2 expression in breast cancer [J]. Clin Breast Cancer, 2014, 14(1): e1-e9
- [12] 李金梅, 张金库, 周炳娟, 等. 三阴性乳腺癌中 EpCAM 和 Sox2 的表达及临床意义 [J]. 临床与实验病理学杂志, 2014, 30(09): 1040-1042
- Li Jin-mei, Zhang Jin-ku, Zhou Bing-juan, et al. Expression and clinical significance of EpCAM and Sox2 in triple-negative breast cancer [J]. J Clin Exp Pathol, 2014, 30(9): 1040-1042
- [13] Gao J, Liu X, Yang F, et al. By inhibiting Ras/Raf/ERK and MMP-9, knockdown of EpCAM inhibits breast cancer cell growth and metastasis [J]. Oncotarget, 2015, 6(29): 27187-27198
- [14] Gao J, Yan Q, Wang J, et al. Epithelial-to-mesenchymal transition induced by TGF-beta1 is mediated by AP1-dependent EpCAM expression in MCF-7 cells [J]. J Cell Physiol, 2015, 230(4): 775-782
- [15] Sebastian M, Kiewe P, Schuette W, et al. Treatment of malignant pleural effusion with the trifunctional antibody catumaxomab (Removab) (anti-EpCAM x Anti-CD3): results of a phase 1/2 study [J]. J Immunother, 2009, 32(2): 195-202